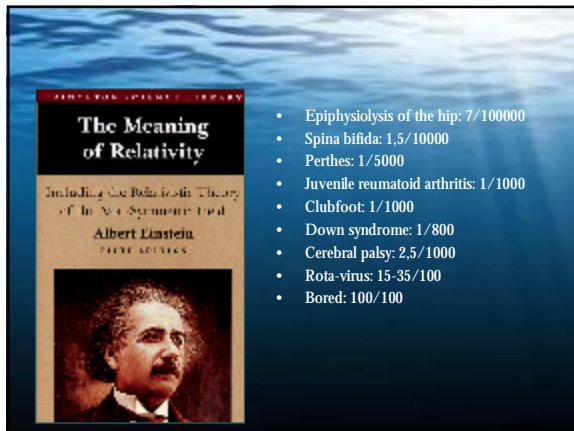
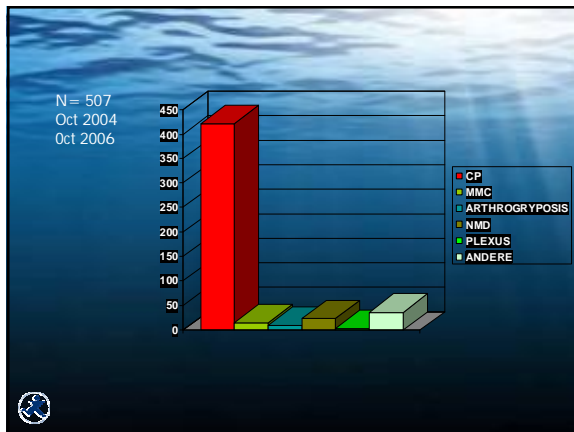


Trauma:	Inflammatory:
Fracture	Juvenile rheumatoid arthritis
Stress fracture	Transient synovitis
Toddler's fracture (minimally displaced spiral fracture of the tibia)	Systemic lupus erythematosus
Soft tissue contusion	...
Ankle sprain	
...	
Infection:	Congenital:
Cellulitis	Developmental dysplasia of the hip
Osteomyelitis	Sickle cell
Septic arthritis	Congenitally short femur
Lyme disease	Clubfoot
Tuberculosis of bone	...
Postinfectious reactive arthritis	
...	
Tumor:	Developmental:
Spinal cord tumors	Legg-Calvé-Perthes disease
Tumors of bone	Slipped capital femoral epiphysis
Benign:	Tarsal coalition
osteoid osteoma, osteoblastoma	Osteochondritis dissecans (knee, talus)
Malignant:	...
osteosarcoma, Ewing's sarcoma	
Lymphoma	
Leukemia	
...	



- Epiphysiolytic of the hip: 7/10000
 - Spina bifida: 1.5/10000
 - Perthes: 1/5000
 - Juvenile rheumatoid arthritis: 1/1000
 - Clubfoot: 1/1000
 - Down syndrome: 1/800
 - Cerebral palsy: 2.5/1000
 - Rota-virus: 15-35/100
 - Bored: 100/100



CEREBRAL PALSY

Primary

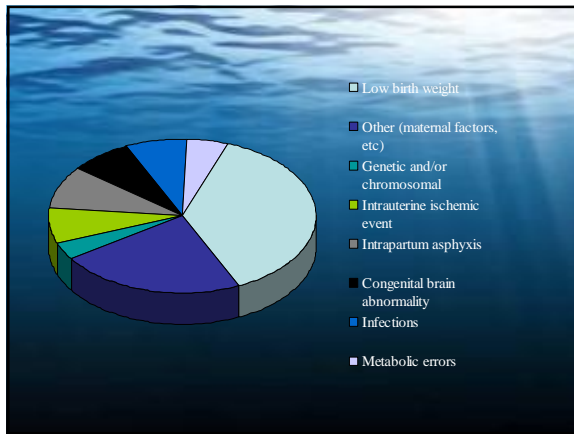
Primary
Spasticity,
Co-contraction
Weakness,
Loss of selective motor control,
Sensory deficits
Poor balance

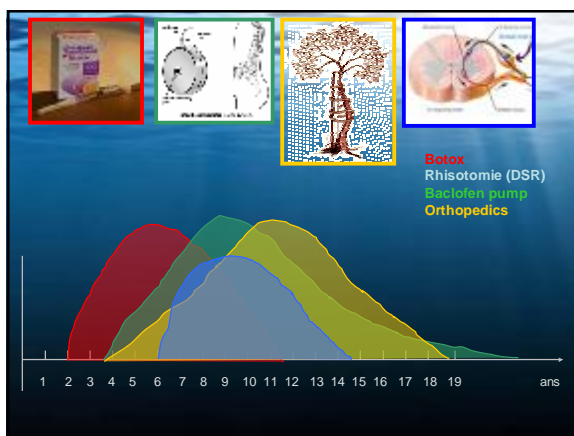
Secondary

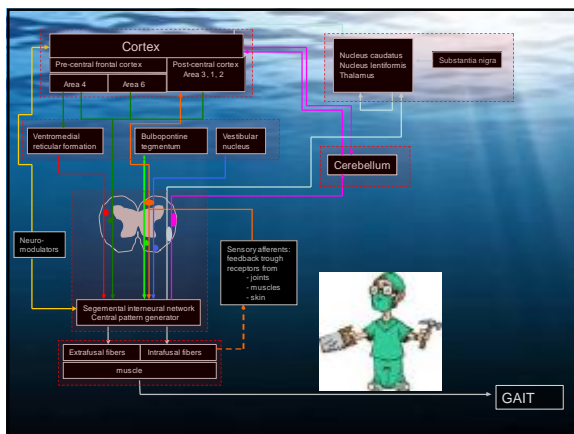
Lever arm disease
Muscle contactures

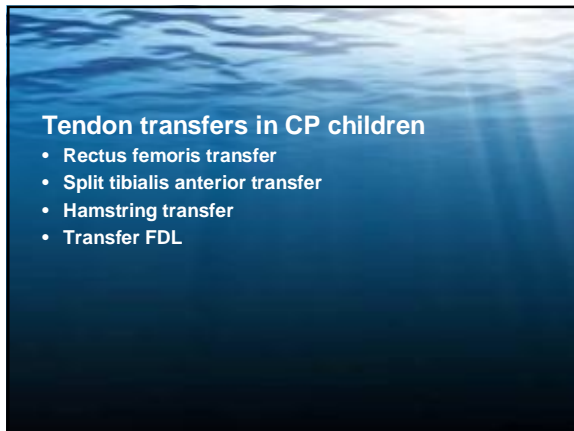
Tertiary

Coping responses









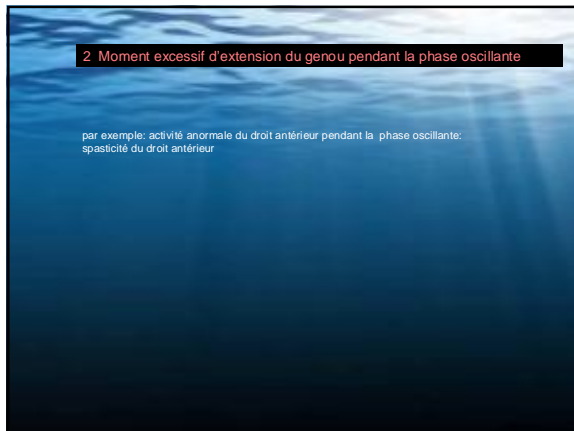
Tendon transfers in CP children

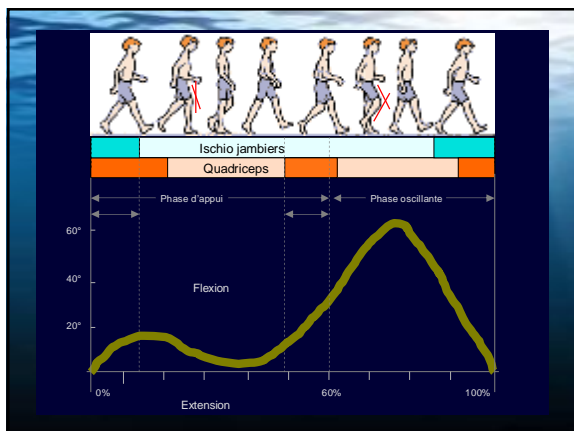
- Rectus femoris transfer
- Split tibialis anterior transfer
- Hamstring transfer
- Transfer FDL

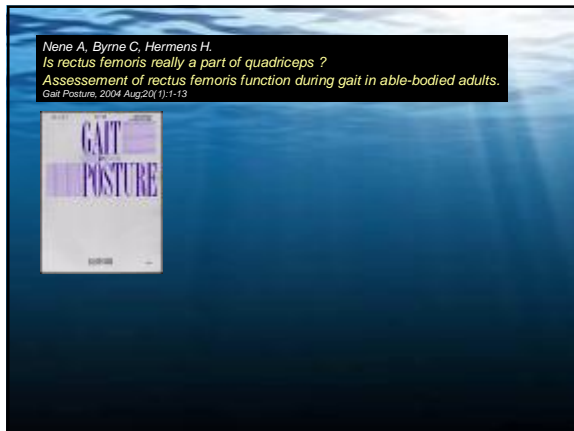


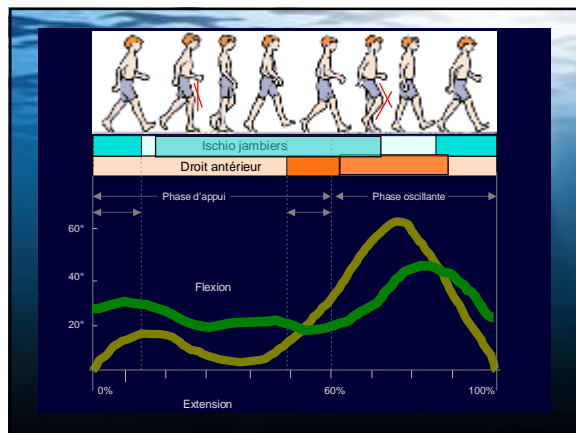
Stiff knee gait

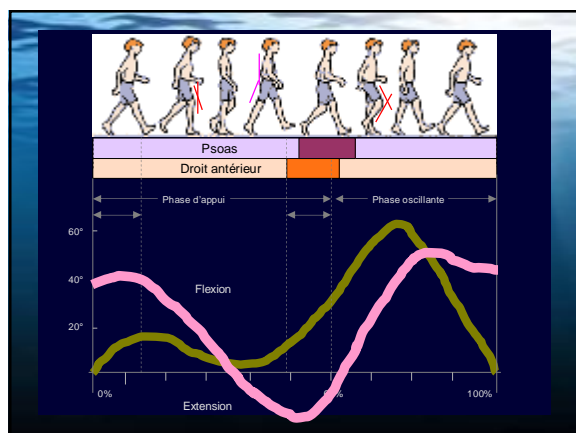


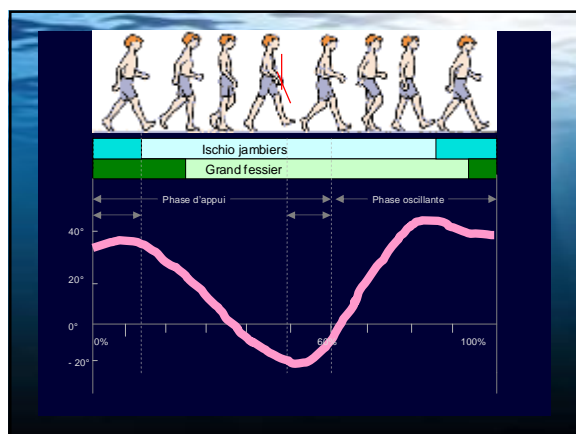


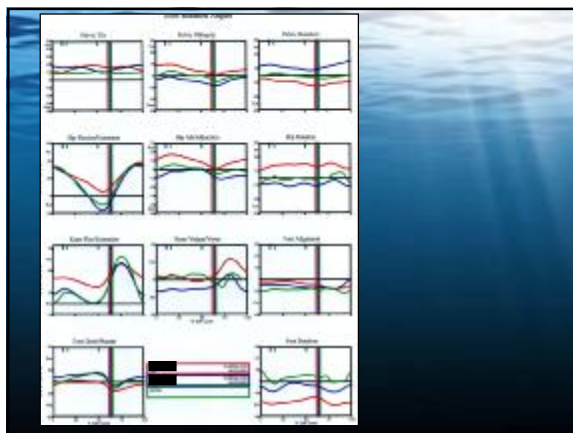


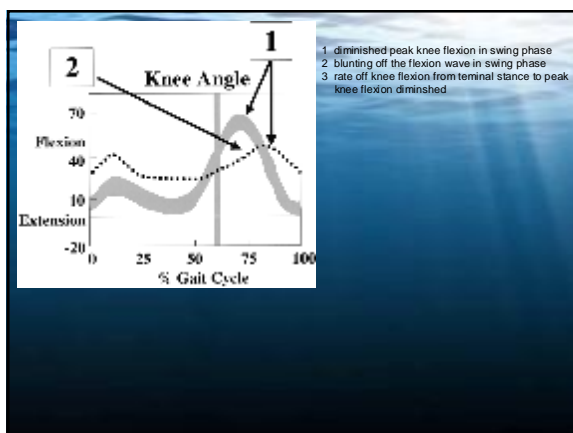


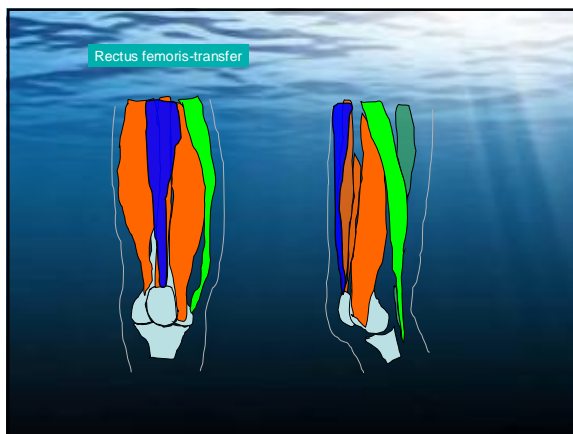


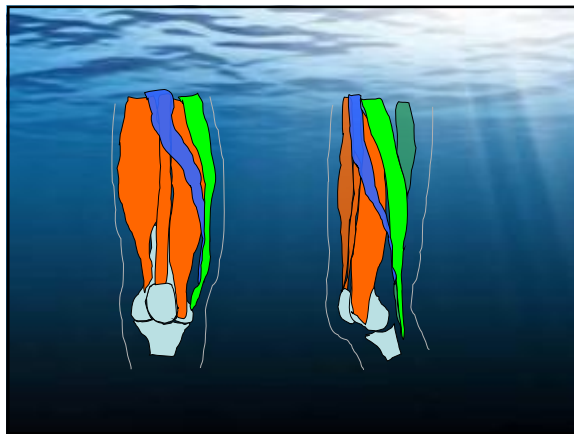


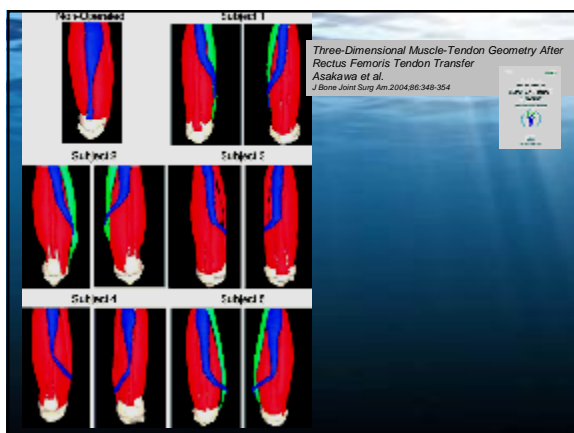


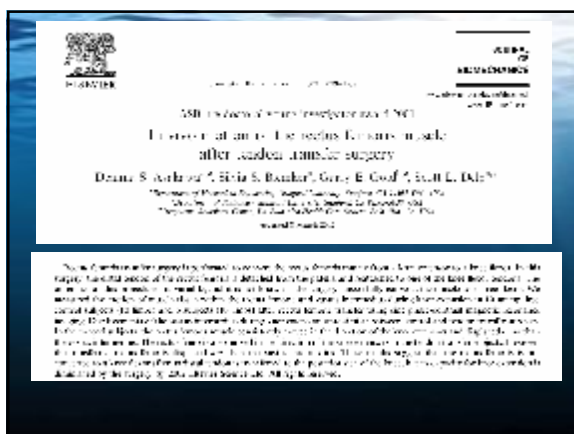


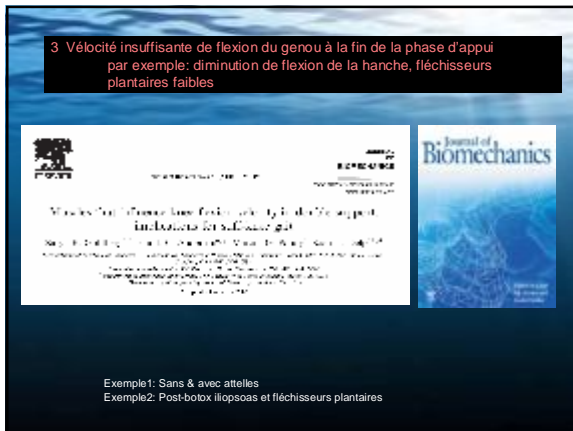


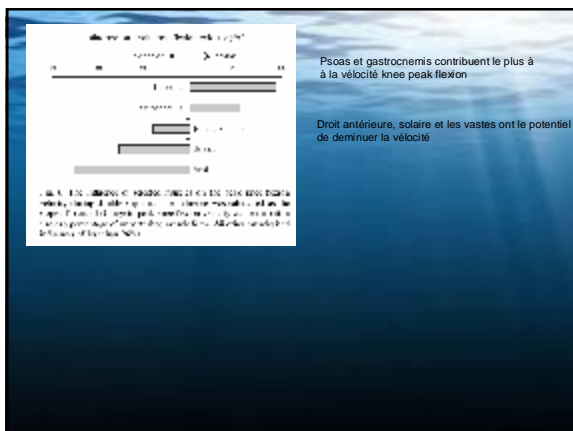


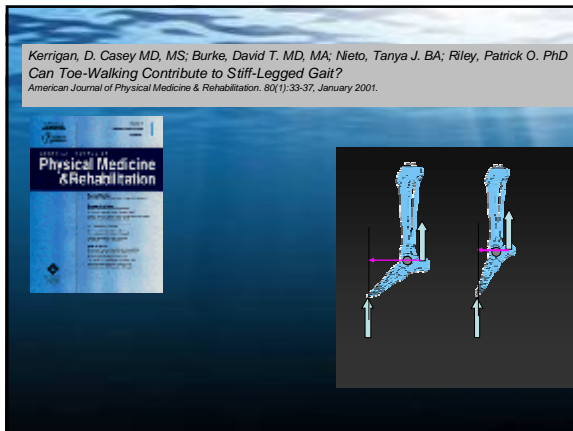


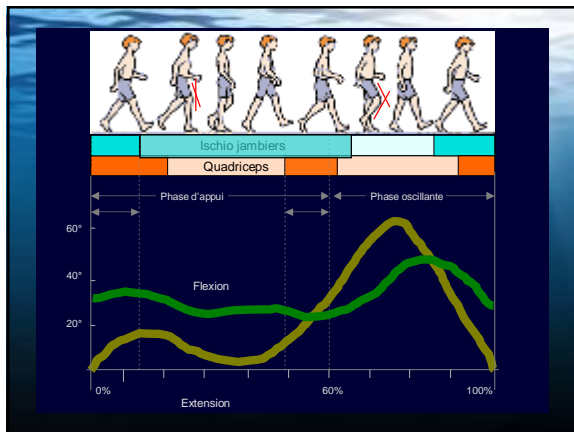
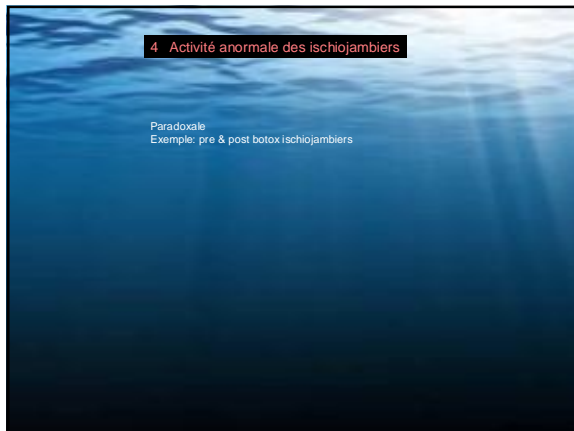




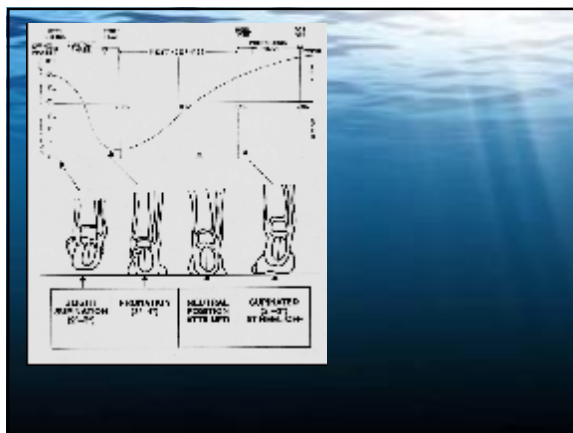


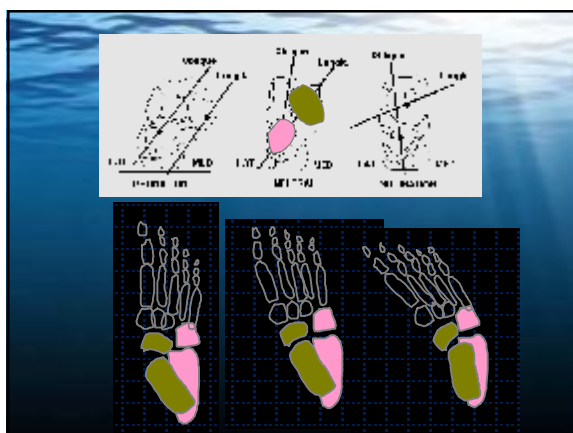


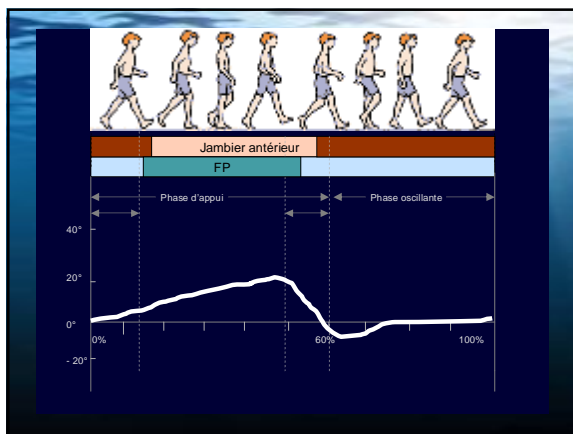


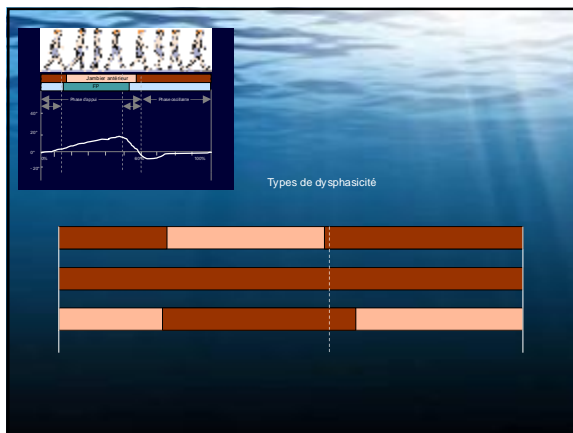


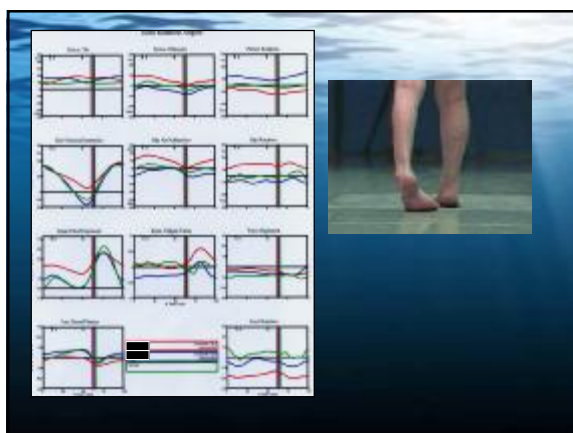
- La marche normale implique: (J. Gage 1991)
- 1) La stabilité lors de la phase d'appui
 - 2) L'absence d'accrochage du pied lors de la phase oscillante
 - 3) Le bon positionnement du pied à la fin de la phase oscillante qui permet le déroulement normal lors de la phase d'appui
 - 4) Une longueur de pas correcte
 - 5) La conservation de l'énergie pour que la marche soit la plus économique possible.
-



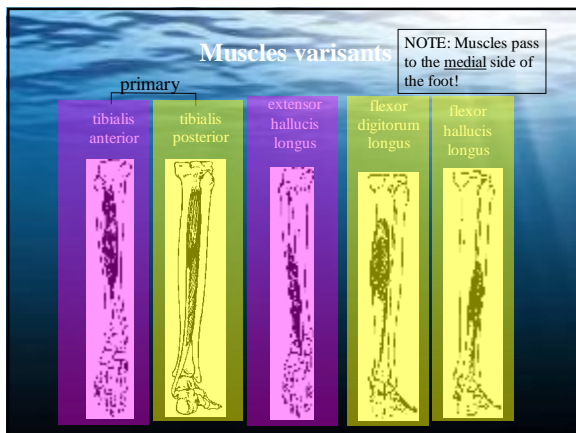


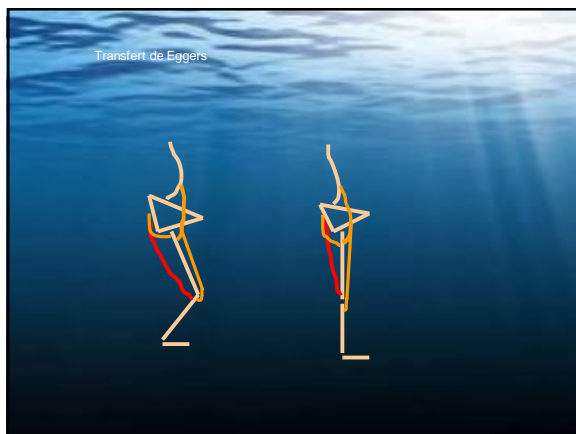


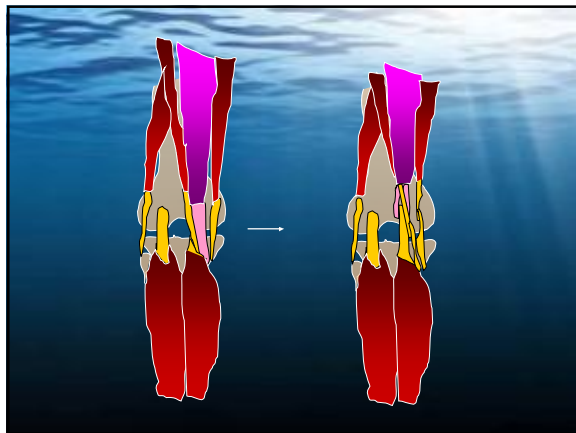


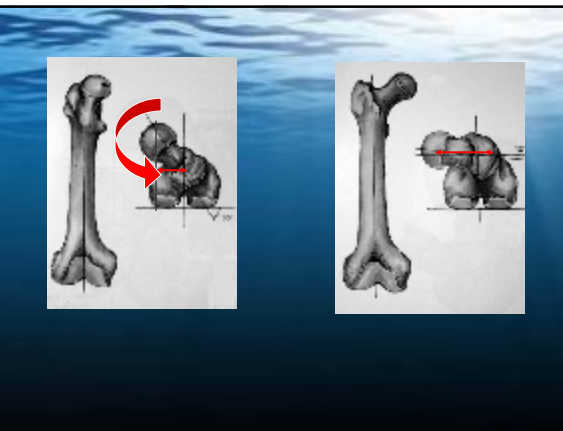
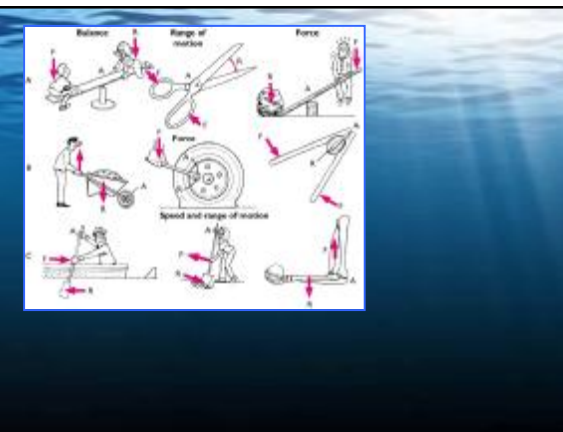
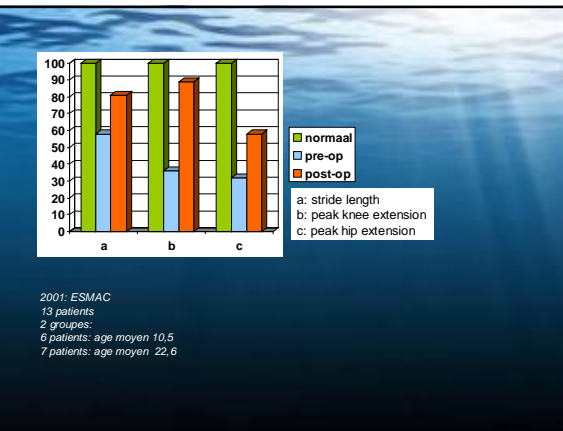


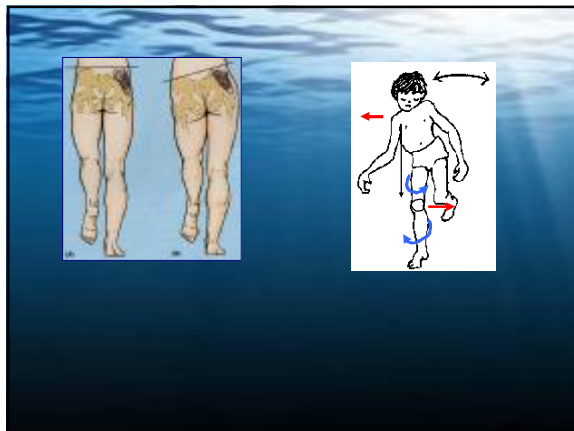




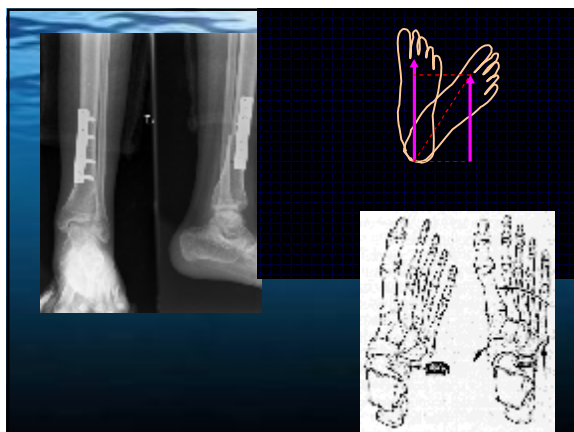




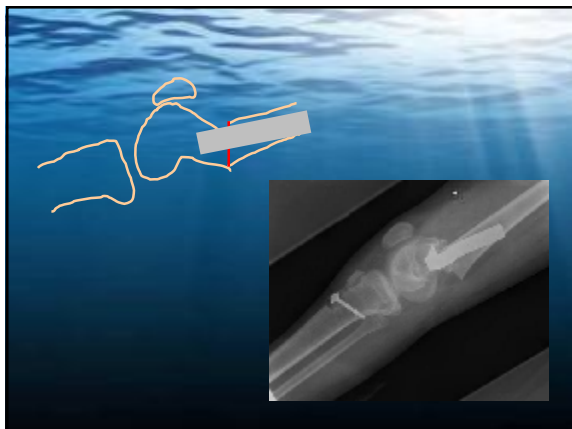


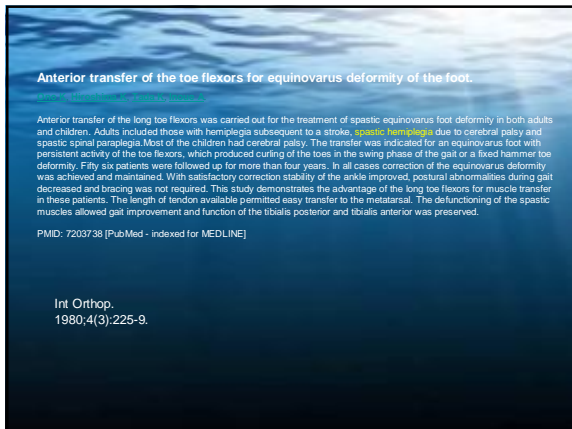


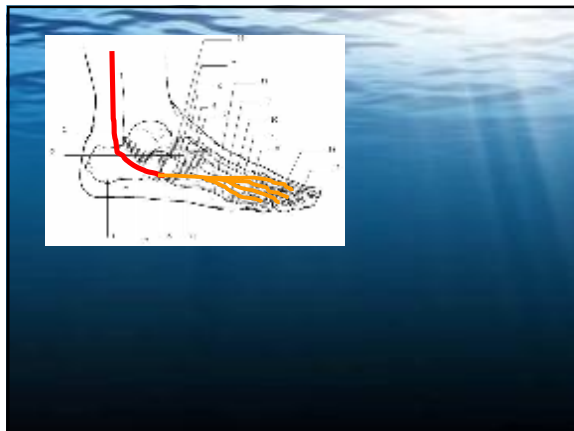


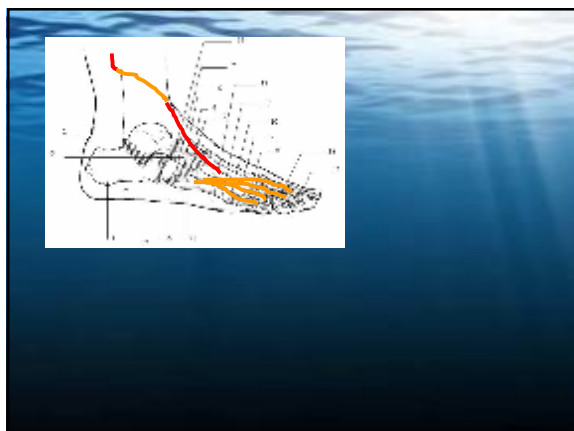


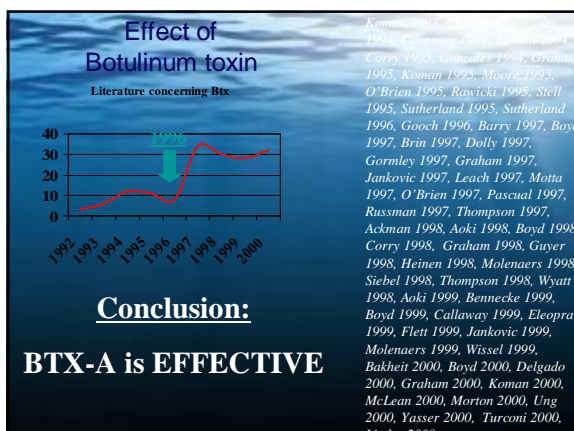


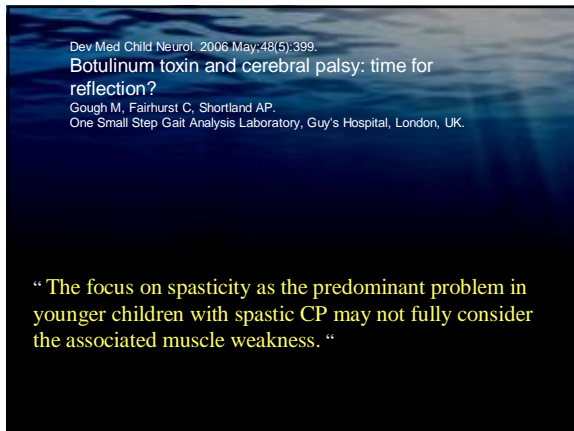


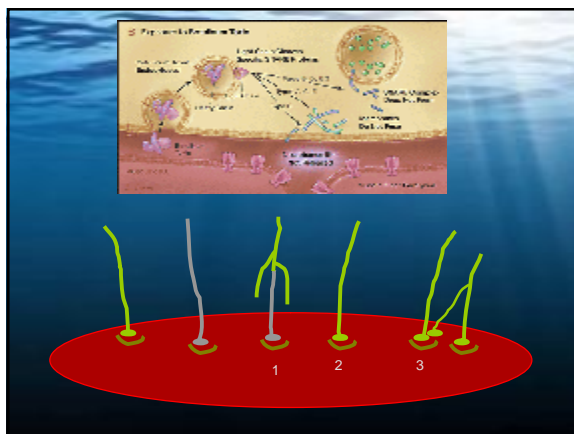














L'effet de la BTX-A

- BTX-A réduit le tonus
- BTX-A influence les problèmes primaires

Question:

Est-ce que l'approche globale pour un traitement BTX-A :

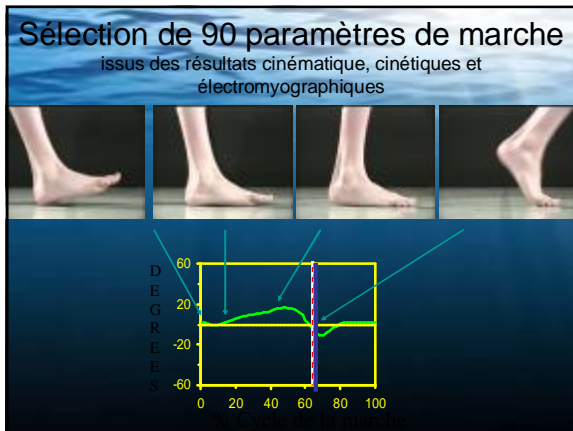
- peut changer la marche de l'enfant IMC ?
- influence le processus pathologique induit par le tonus ?

Méthode

- 50 enfants IMC (76 traitements de membres)
 - 24 hémiplégies
 - 26 dipplégies
- Âge : 3 ans 4 mois à 9 ans 8 mois
- Méthodologie de l'étude:
 - Avant le traitement
 - 2 mois après le traitement
 - 6 mois après le traitement
- Analyse complète de la marche
 - cinématique (*vicon*)
 - cinétique (*AMTI*)
 - EMG (*K-lab*)

L'approche globale (intégrée) pour le traitement par BTX-A

- **Fondements**
 - Sélection des muscles: traitement multi-étage
 - Dosage et technique d'injection
- **Facteurs essentiels**
 - Soins ultérieurs
 - Plâtres
 - physiothérapie
 - Prise en charge orthopédique
 - Evaluation des résultats
 - Sélection des patients, timing et objectifs



- ## Analyse des données
- Données brutes et variables standardisées
 - Comparaison des paramètres de marche avant et après traitement par la BTX-A
 - Test t de Student
 - Test signé par rangs de Wilcoxon
 - Analyse de la variance des mesures répétées
 - Valeur critique de $p = 0.005$
 - Application par niveau de la correction de Bonferroni aux paramètres cinématique, cinétique et EMG

- ## Traitement multi-étage
-
- Traitement multi-étage des muscles de la jambe par la BTX-A
 - 1 à 3 niveaux ou 2 à 6 groupes de muscles
 - Sélection des muscles fondée sur l'examen clinique et les données objectives de la marche
 - Doses appropriées (botox)
 - Diploïque: moyenne de 23.8 U/kg/poids corporel
 - Hemiplégique: moyenne de 15.8 U/kg/poids corporel
 - Plâtres pré- ou post traitement
 - Plâtres des 2 jambes (pre ou post BX-A)
 - 7 à 35 jours (plâtres successives)
 - Physiothérapie et prise en charge orthopédique appropriées

Résultats des études

- Modification au niveau de la cheville
- Modification au niveau du genou, de la hanche et du bassin

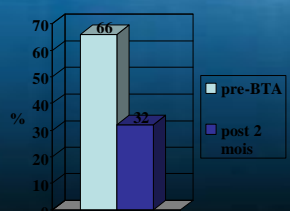
Tous les patients ont connus une amélioration au niveau de la cheville

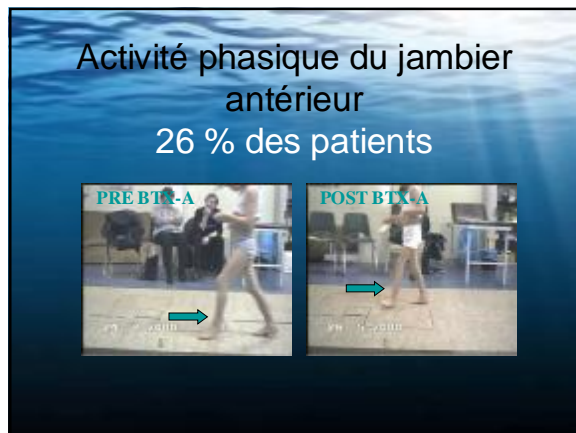
($P < 0.005$)

- Amélioration de la position de la cheville lors du contact initial
- Amélioration de la deuxième bascule
- Diminution du couple pathologique flexion plantaire/extension du genou

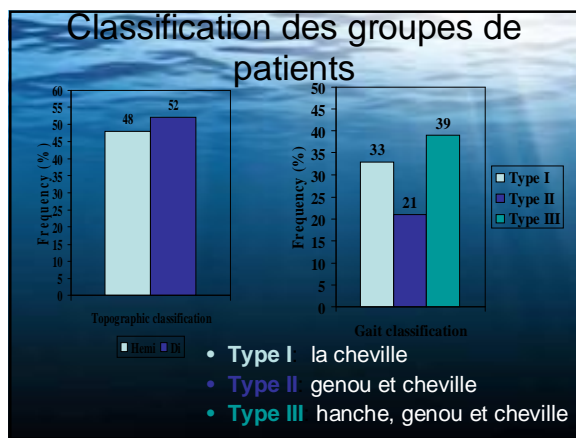


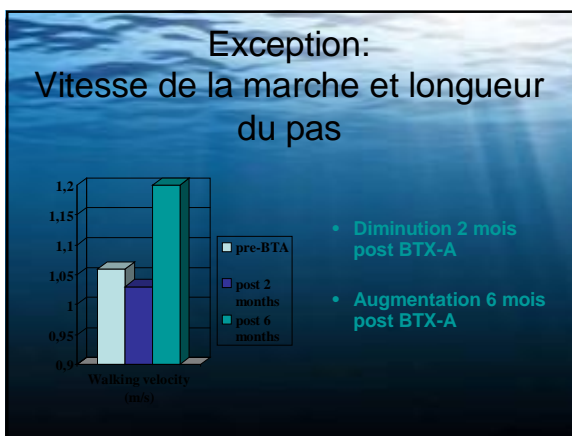
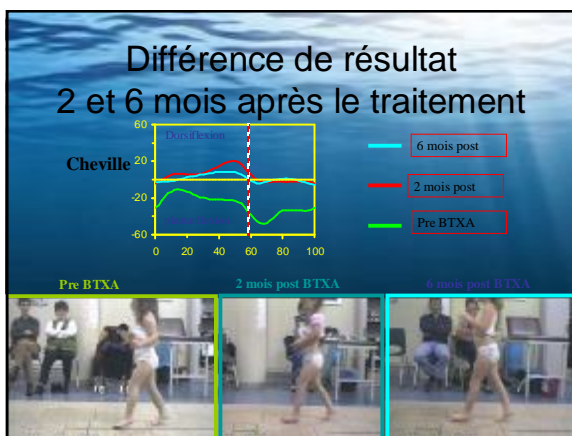
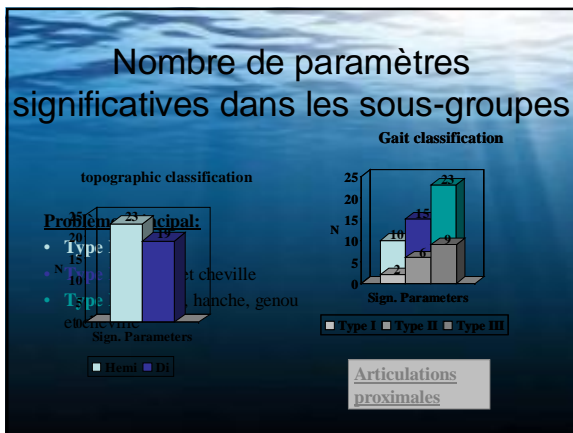
Fréquence du couple pathologique flexion plantaire/extension du genou











Comparaison des résultats à court et moyen terme: Evolution pendant la période allant du 2^e au 6^e mois suivant les injections de BTX-A
(Repeated measures analysis of variance)

- Poursuite de l'amélioration des paramètres de la marche:
 - Paramètres temps et distance
 - Stabilité du bassin dans le plan transversal
 - Amplitude du mouvement du genou en position debout
 - Augmentation de la génération de puissance au niveau de la hanche
- Stabilité des paramètres (amélioration significative):
 - Asymétrie du bassin en cas d'hémiplégie
 - Amplitude du mouvement de la cheville lors de décollement
- Légère diminution des améliorations (restant significatives)
 - Au niveau de la cheville lors du contact initial, du balancement terminal du balancement
 - Mouvement de la cheville en deux ressauts

Signes d'un effet de transfert à tous les niveaux

Un traitement global multi-étage par de la BTX-A peut modifier la mode de marche



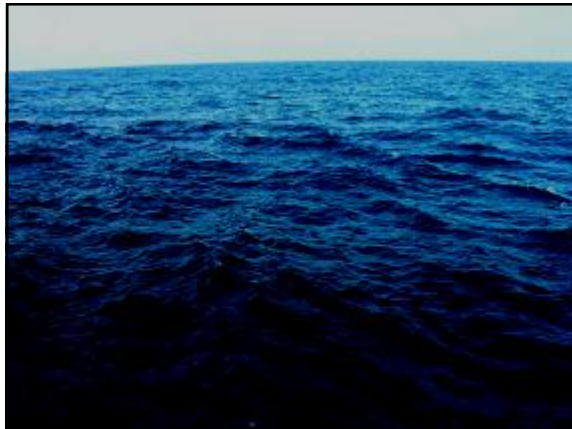
Influence du procès pathologique

(K. Graham, 1993)







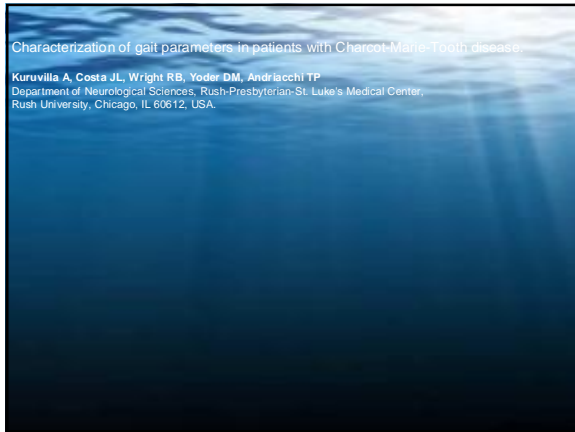




Cerebral palsy

Spinal dysraphism

Hereditary sensorimotor neuropathies



Characterization of gait parameters in patients with Charcot-Marie-Tooth disease.

Kuruvilla A, Costa JL, Wright RB, Yoder DM, Andriacchi TP

Department of Neurological Sciences, Rush-Presbyterian-St. Luke's Medical Center,
Rush University, Chicago, IL 60612, USA.
